

III-1 火山流域における地下水位の長期変動について

熊本大学工学部 正實・下津昌司
熊本大学工学部 学生員 前田晃

地下水位の変動は、年季節にわたる長期的変動と、時間、日程の短期的変動に分かることができる。この中で、長期的変動の要因としては、降水の浸透、流動、排泄による地下水貯留量の増減によるものである。いわゆる水循環過程としての地下水流出、すなわち河川の地下水流量の源として、その変動は意義を持つものと考えられる。変動の様相がまるで自然に近い状態で、顕著に現われる流域として阿蘇火山流域のカルデラ内を選定した。

流域概要是 Fig. 1, Table 1 に示す。

観測値 両流域内の代表的帶水層の水頭を示す井戸の水位変化を Fig. 2, Fig. 3 に示す。両者の相互関係を Fig. 8 に示すが、ほゞ同一の動きを示してゐる。

水收支との関係 月単位の水收支計算を次式によりおこなつた。

$$P - ET - Q + G_t - G_0 = \frac{\Delta S}{\Delta t} \quad (1)$$

$$(P - ET - Q) \Delta t = (G_t - G_0) \Delta t + \Delta S \quad (2)$$

P: 降水量 mm ET: 蒸発散量 mm Q: 流出高 mm (河道)

G_t: 地下流入高 mm G₀: 地下流出高 mm ΔS: 流域貯留量の変化 mm, Δt: 時間(月)

Pはテイセン法により面積雨量と算出し、1觀測点の支配面積は最大 50 km²から最小 10 km²の範囲である。E.T. 下限は問題を含んでゐるが Thornthwaite 式を基本とし、金子氏⁽¹⁾⁽²⁾が与えた地目別仮定値、および現地観測値を参考として、年間合計 743 mm としている。Q は高水時とそれ以外の流量をわけて算出したが、年間總出量に占める高水時流出量の比率は 46, 40 年の 25% を最高に 10% までの範囲であった。G_t, G₀ が実測不可能な値であるが(2)式の左辺を求める。Fig. 2, Fig. 3 に示すように、その累加を図示してみると、長期の傾向値として (G_t - G₀) の値が推定可能である。そこで傾向線と直線と仮定して最小二乗法により求めたものが、五より 12 ヶ月移動平均値を Fig. 4 に示す。これによると白川では傾向線が横軸とはほぼ平行となり、この流域末端部は岩盤の露出した地形、地質の状態から、ほゞ G_t = 0 と考えられ、したがって G₀ = 0 と考えられるようである。それに對して黒川の 2 地点では、傾向線の傾斜から一方的な流入超過 (G_t - G₀ > 0) が認められる。31 年より 36 年における G_t - G₀ = 36.0 %, 37 年以降 G_t - G₀ = 15.7 % (0.69 %) に相当する。

つまに原野系(2)式の左辺の累加)から直線的傾向変動値を除いた暗系(1)式自己相関、両流域の相互相関を Fig. 5, Fig. 6 に示している。さらにこの流域貯留量の変化と、41 年以降の地下水位を対応させた結果

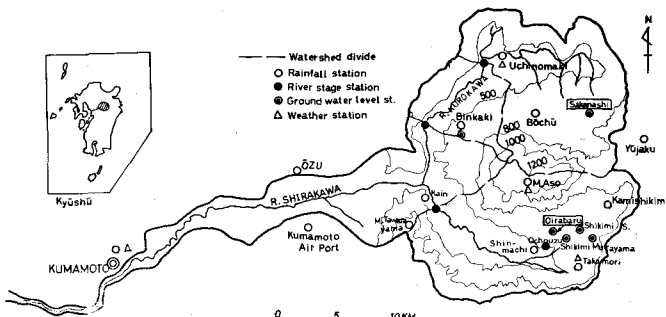


Fig. 1 Physiographical outline of basin

Table 1 Physiographical outline of basin

	黒川	白川
流域面積 km ²	208	155
流域面積 山地(勾配 20% 以上)	48%	60%
勾配 20~2%	28%	34%
% 平地(勾配 2% 以下)	38%	6%
地目 水田・畠	38%	34%
山林	16%	15%
% 草地・原野	46%	51%
河道長 km / 流域面積 km ²	0.7	0.4
河道数 / 流域面積 km ²	0.47	0.22

とFig. 7に示す。

結果と考察

Fig. 5によると両流域の貯留の持続性に多少の差異が見られるが、Fig. 6から見て、長期傾向(すなわち地下流水流入期)を除いた、いわゆる貯留高の変化は、ほぼ同一といえよう。

さうはFig. 7の地下水位と貯留高の関係(2ヶ月のずれで相関係数0.81)となっていることから、地下水位(その流域の代表的な帶水層=みけら川のボテンシャルシヤル等の一つの大王工)と流域貯留高の指標として利用することにより、数ヶ月先の地下水流出量を予測が可能である。その意味でFig. 1のOchiaizu地盤にみせて地下水流出量の観測と操作中であり、その結果につけては後日トロウガリたい。また対象とする帶水層によって、水のボテンシャルが異なることは当然ありうることで、したがって、それを対応する水收支の時間スケールのとり方も異なつたものとなる。現在さうに詳しいモデルによって、それを検証すべく研究をすゝめている。

- 1) 金子良 水資源ハンドブック(朝倉書店) P.321
- 2) 石橋豊 計算水文(コロナ社) P.93.

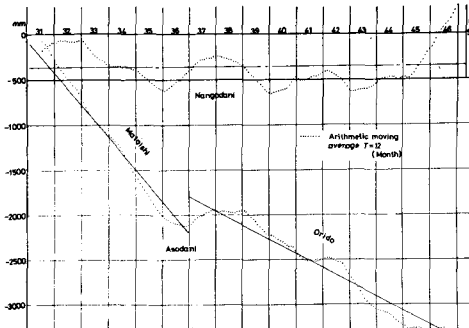


Fig. 4 Trend line and 12 months' moving average curves of $\Sigma(P-ET-Q)$

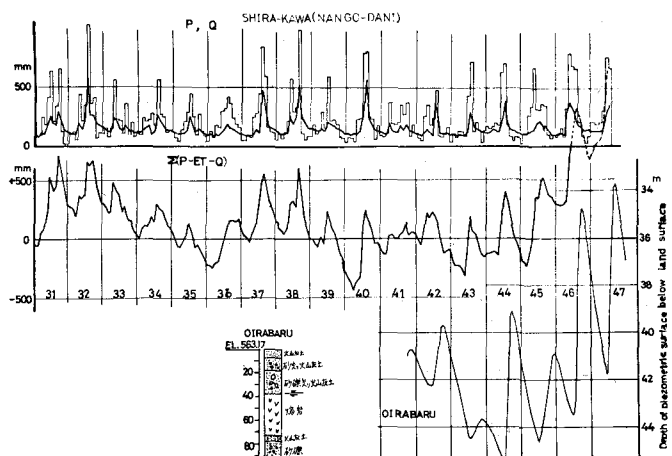


Fig. 2 Variation of hydrological value and well sampled and bar graph

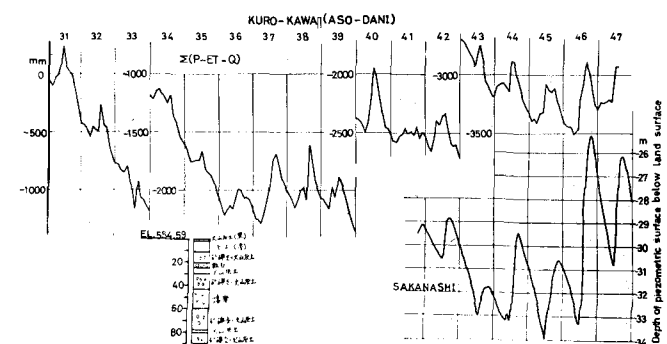


Fig. 3 Variation of hydrological value and well sampled and bar graph

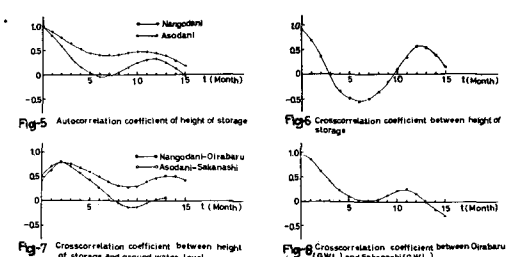


Fig. 5 Autocorrelation coefficient of height of storage

Fig. 6 Cross-correlation coefficient between height of storage

Fig. 7 Cross-correlation coefficient between height of storage and ground water level

Fig. 8 Cross-correlation coefficient between Oirabaru (QWL) and Sakanashi (QWL)